

Э.Н. АЛЬТМАН, А.Е. БУКАТОВ,
Л.Д. ПУХТИР, Л.В. ЧЕРКЕСОВ

Влияние некоторых составляющих водного баланса Черного моря на внутренние волны

ЗАВИСИМОСТЬ внутренних волн в центральной части Черного моря от стока речных вод изучалась в [2]. Исследование внутренних волн с учетом вертикальной турбулентной диффузии в предположении отсутствия потока массы через свободную поверхность проведено для прибрежной зоны в статье [4].

В настоящей работе рассматривается влияние речного стока и потока массы через свободную поверхность на внутренние волны в прибрежной зоне моря.

Анализ зависимости внутренних волн в прибрежной зоне от речного стока проведем, исходя из системы уравнений движения

$$\begin{aligned} \frac{\partial u}{\partial t} + \bar{u} \frac{\partial u}{\partial x} + \bar{v} \frac{\partial u}{\partial y} + w \frac{\partial \bar{u}}{\partial z} + fv &= -\frac{1}{\rho} \frac{\partial p}{\partial x} + \mu \Delta_h u, \\ \frac{\partial v}{\partial t} + \bar{u} \frac{\partial v}{\partial x} + \bar{v} \frac{\partial v}{\partial y} + w \frac{\partial v}{\partial z} - fu &= -\frac{1}{\rho} \frac{\partial p}{\partial y} + \mu \Delta_h v, \\ \frac{\partial w}{\partial t} + \bar{u} \frac{\partial w}{\partial x} + \bar{v} \frac{\partial w}{\partial y} - g \frac{\rho}{\rho} &= -\frac{1}{\rho} \frac{\partial p}{\partial z} + \mu \Delta_h w, \end{aligned} \quad (1)$$

уравнения неразрывности

$$\frac{\partial u}{\partial x} + \frac{\partial v}{\partial y} + \frac{\partial w}{\partial z} = 0, \quad (2)$$

уравнения диффузии плотности

$$\frac{\partial \rho}{\partial t} + \bar{u} \frac{\partial \rho}{\partial x} + \bar{v} \frac{\partial \rho}{\partial y} + w \frac{\partial \bar{\rho}}{\partial z} = v_p \Delta_h \rho \quad (3)$$

и условий

$$\rho + \rho g z = \rho_0 \quad \text{при} \quad z=0, \quad w=0 \quad \text{при} \quad z=H, \quad (4)$$

$$\frac{\partial \zeta}{\partial t} + \bar{u} \frac{\partial \zeta}{\partial x} + \bar{v} \frac{\partial \zeta}{\partial y} = w \quad \text{при} \quad z=0. \quad (5)$$

Здесь ρ и ρ - возмущения давления и плотности под влиянием движения; u, v, w - горизонтальные и вертикальная составляющие вектора скорости волнового возмущения; \bar{u}, \bar{v} , $\bar{\rho}$, v_p , μ - средние распределения по глубине в невозмущенном состоянии составляющих скорости течения, плотности, коэффициентов горизонтальной турбулентной диффузии и

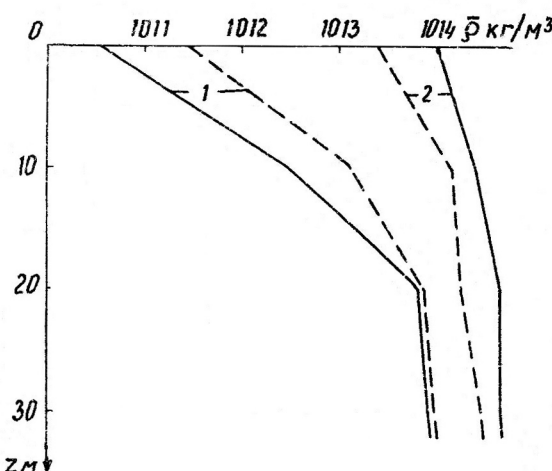


Рисунок. Среднегодовые (1) и среднесезонные (2) распределения плотности по глубине в 1970 г. (—) и 1973 г. (---)

обенно в приустьевых, областях [1] . Рассмотрим два экстремальных по водности года за 1965-1975 гг.: 1970 г. с наибольшим ($401,6 \text{ км}^3$) и 1973 г. с наименьшим ($287,4 \text{ км}^3$) объемом стока [1, 2] . Среднесезонные и среднегодовые распределения плотности по глубине для этих лет, построенные по значениям на стандартных горизонтах 0, 10, 20, 30 м путем линейной интерполяции, представлены на рисунке. Глубина в районе наблюдений составляла ~ 32 м.

Видно, что уменьшение речного стока привело к увеличению значений среднегодовой плотности. Особенно значительны они в верхнем двадцатиметровом слое. Среднесезонная плотность морской воды зимой при уменьшении годового речного стока не увеличилась. В 1970 г. ее значения на всех горизонтах оказались большими, чем в 1973 г.

Аналогично работе [2], сведем задачу (1)-(5) к системе двух обыкновенных дифференциальных уравнений второго порядка для вертикальной составляющей скорости при соответствующих граничных условиях и решим ее численно. Расчеты выполним для $\bar{\phi}(z)$ из рисунка при характерных распределениях скорости течения, горизонтальной турбулентной диффузии и вязкости [3, 5]. При этом положим, что $A_0 = 100$ Па, а длина λ и период T волны давлений изменяются в пределах $5H \leq \lambda \leq 30H$; $0,1\zeta \leq T \leq 1,5\zeta$.

Результаты расчетов для среднегодовой плотности приведены в табл. 1, а для среднесезонной зимней плотности в табл. 2. Здесь k — номер моды внутренних волн; τ_k — период соответствующей моды; $L = \lambda/H$; A_k^* , A_k , B_k — максимальные по глубине значения амплитуды, вертикальной и продольной составляющих волновой скорости. В скобках приведены глубины (м), на которых достигаются соответствующие

вязкости; f — параметр Кориолиса; ζ — отклонение свободной поверхности от невозмущенного состояния; $H = \text{const}$ — глубина неограниченного в горизонтальных направлениях бассейна; $\rho_0 = A_0 \exp[i(mx + ny - \delta t)]$ — возмущения атмосферного давления; ось Z направлена вертикально вниз.

За исходные примем данные гидрологических наблюдений в северо-западной части Черного моря, так как наиболее значительные изменения плотности воды под влиянием речного стока наблюдаются в мелководных, и осо-

Таблица 1

L	k	τ_k	$A_k \cdot 10^5$ м/с	расчитанные по среднегодовым гидрологическим данным			
				1970 г.	1973 г.	$B_k \cdot 10^3$ м/с	
5	1	0,12	0,20	87,3(15)	48,7(12,5)	1,6(10)	1970 г.
	2	0,18	0,25	43,0(19,5)	8,0(18)	1,7(12,5)	1973 г.
	3	0,22	-	9,8(22)	-	0,6(8,5)	0,060
	4	0,24	-	4,6(23,5)	-	0,3(5,5)	0,044
10	1	0,23	0,39	105,0(15)	58,0(12,5)	5,0(1)	0,012
	2	0,36	0,50	35,0(19)	8,8(18)	2,9(12)	0,006
	3	0,43	0,56	7,0(22)	2,2(20)	0,8(8)	0,017
	4	0,48	0,59	3,4(24)	1,2(20)	0,5(6)	0,017
	5	0,52	0,61	2,8(25)	0,6(21)	0,2(0)	0,007
20	1	0,45	0,77	185,4(14,5)	28,2(12,5)	0,4(9,5)	0,010
	2	0,71	1,00	15,5(19,5)	15,5(18,5)	13,3(5)	0,010
	3	0,87	1,10	7,3(22)	2,0(20)	2,5(12,5)	0,008
	4	0,97	1,17	4,2(24)	1,1(20)	1,7(8,5)	0,013
	5	1,08	1,20	1,6(25)	0,9(20)	1,1(11,5)	0,023
	6	1,11	-	1,7(25,5)	-	0,5(8)	0,008
	7	-	-	-	-	0,04(9,5)	0,007
30	1	0,67	1,16	164,0(14,5)	27,0(13)	0,7(9,5)	-
	2	1,07	-	50,0(19,5)	-	4,1(0)	0,124
	3	1,29	-	6,9(21,5)	-	-	0,051

Таблица 2
Характеристики внутренних волн, рассчитанные по среднесезонным гидрологическим данным

L	K	$\tau_k \cdot \zeta$	$A_k \cdot 10^5$ м/с	$B_k \cdot 10^3$ м/с			A_k^* м
				1970 г.	1973 г.	1973 г.	
5	1	0,16	0,17	118,0(8,5)	35,2(12)	3,7(5)	0,108
	2	0,21	0,23	11,0(21,5)	10,7(17,5)	0,3(30)	0,013
	3	0,24	0,26	8,9(3,5)	3,9(19)	0,8(6,5)	0,012
	4	0,27	0,28	2,8(2)	1,9(19,5)	0,4(0)	0,004
10	1	0,31	0,34	160,0(8,5)	67,0(12)	9,8(0)	3,4(0)
	2	0,42	0,45	11,5(21)	21,3(17,5)	0,7(30)	1,5(9,5)
	3	0,48	0,51	6,4(3,5)	5,4(18,5)	1,1(6,5)	0,7(6)
	4	0,54	0,56	2,0(2,5)	1,4(19,5)	0,6(5)	0,3(8,5)
20	1	0,62	0,64	66,2(8,5)	113,0(12)	8,2(0)	11,6(0)
	2	0,85	0,89	11,8(21,5)	11,6(17,5)	1,5(30)	1,6(9,5)
	3	0,95	1,02	9,0(3)	5,9(19)	3,0(6,5)	1,7(6)
	4	1,07	1,15	2,0(2)	1,3(19,5)	1,1(8)	0,5(10)
30	5	1,13	1,20	1,2(1,5)	0,5(19,5)	0,9(8,5)	0,4(9)
	6	1,17	-	0,7(13,5)	-	0,6(9)	-
	1	0,92	0,96	66,0(3,5)	66,0(12)	12,0(0)	10,2(0)
2	1,26	1,34	16,6(21,5)	11,2(17,5)	3,1(30)	2,4(9,5)	0,348
							0,120
							0,086

74

значения. Из данных табл.1 следует, что период фиксированной моды внутренних волн в год минимального речного стока больше, чем в год максимального стока. Для 1-й моды это увеличение составляет $\sim 70\%$. С ростом номера моды оно убывает, составляя для 5-й моды $\sim 11\%$. Первая мода является преобладающей как при максимальном, так и при минимальном стоке. Однако наибольшая амплитуда внутренних волн 1-й моды приходится на год максимального стока. Она составляет 0,63 м при $\lambda = 30 H$, $T_r = 0,67 \text{ч}$. Максимальные амплитуды волн в 1970 г. расположены на больших глубинах, чем в 1973 г. Для 1-й моды эта глубина при большом стоке составляет 14,5-15 м, при малом 12-13 м, для 5-й моды – соответственно 25 м и 20-21 м. Максимальные значения горизонтальной волновой скорости достигаются на глубинах 0-12,5 м. Однако при малом стоке эти максимумы находятся ближе к поверхности, чем при большом стоке.

В зимний сезон также преобладает 1-я мода внутренних волн. Однако ее амплитуда в многоводный год может быть меньшей, чем в год минимального стока. Например, при $\lambda = 20 H$ в 1973 г. амплитуда 1-й моды примерно на 70 % больше, чем в 1970 г. Зимой в год минимального стока глубина залегания максимума амплитуды также может быть большей, чем в 1970 г. Периоды соответствующих мод внутренних волн, реализующихся в зимний сезон, для 1970 и 1973 гг. отличаются не более чем на 6 %.

Таким образом, вычисленные по среднегодовой плотности значения максимумов амплитуд мод внутренних волн и глубин залегания этих максимумов при большом стоке большие, чем при малом. Среднесезонные же значения максимумов амплитуд и глубин их расположения зимой в многоводный год могут быть меньшими, чем в год минимального стока.

Приведем результаты численного анализа влияния на внутренние волны такой части водного баланса, как испарение с поверхности моря. Исследование выполнено, исходя из системы (1) при $\psi = 0$ и уравнения неразрывности (2). Уравнение для плотности взято в виде

$$\frac{\partial \rho}{\partial t} + \bar{u} \frac{\partial \rho}{\partial x} + \bar{v} \frac{\partial \rho}{\partial y} + w \frac{\partial \bar{\rho}}{\partial z} = v_p A_h \rho + v_H \frac{\partial^2 \rho}{\partial z^2},$$

где v_H – коэффициент вертикальной турбулентной диффузии. Учет вертикальной турбулентной диффузии кроме граничных условий (4), (5) требует еще двух условий

$$v_H \frac{\partial \rho}{\partial z} = Q_0 \exp [i(mx + ny - \delta t)] \quad \text{при } z=0,$$

$$\rho(x, y, z, t) = 0 \quad \text{при } z=H.$$

Первое из них характеризует существование турбулентного потока массы через свободную поверхность моря, опреде-

ляемого функцией $Q = Q_0 \exp[i(mx + ny - \delta t)]$, а второе является следствием того, что отсутствует поток массы через горизонтальное дно ($z=H$). После сведения, аналогично работе [4], к системе двух обыкновенных дифференциальных уравнений четвертого порядка с действительными переменными коэффициентами для вертикальной составляющей скорости задача решалась численно методом Рунге-Кутта. Расчеты выполнены при Q_0 в диапазоне $0-3 \cdot 10^{-3}$ кг/м²с. Значение среднегодового испарения с водной поверхности в северо-западной части моря, согласно работе [6], равно $2,7 \cdot 10^{-5}$ кг/м²с (850 мм/год), период колебаний и длина волны давления – соответственно 0,2-2 ч, $10 H - 40 H$.

Результаты расчетов показали, что изменение величины Q мало сказывается на характеристиках внутренних волн в рассматриваемом районе моря. Увеличение волновых скоростей за счет роста Q_0 составляет всего 1,8 %. При этом периоды мод внутренних волн и глубины наиболее интенсивного волнового движения почти не меняются.

Л И Т Е Р А Т У Р А

1. Альтман Э.Н., Лабунская Л.С., Агарков А.К. Современный баланс пресных вод северо-западного района Черного моря – В кн.: Гидрология и гидрохимия южных морей. – Тр. ГОИН. Вып. 145. – М., 1978, с. 3-15.
2. Альтман Э.Н., Букатов А.Е., Пухтар Л.Д., Черкесов Л.В. Влияние речного стока на внутренние волны в Черном море. – Тр. ГОИН. Вып. 168. – М., 1983, с. 12-18.
3. Комплексные океанографические исследования Черного моря Богуславский С.Г., Ефимов В.В., Черкесов Л.В. и др. – Киев: Наук. думка, 1980. – 240 с.
4. Букатов А.Е., Пухтар Л.Д., Черкесов Л.В. Влияние вертикальной диффузии плотности на внутренние волны. – В кн.: Теоретическое моделирование волновых процессов в океане. Севастополь, 1982, с. 98-106.
5. Букатов А.Е., Ерыго Г.Г., Пухтар Л.Д., Черкесов Л.В. Внутренние волны в прибрежной зоне Черного моря. – В кн.: Комплексные гидрофизические и гидрохимические исследования Черного моря. Севастополь, 1980, с. 22-32.
6. Ресурсы поверхностных вод СССР. Т. 6. Вып. 2. – Л.: Гидрометеоиздат, 1971. – 654 с.